



Schweizerische Eidgenossenschaft
Confédération suisse
Confederazione Svizzera
Confederaziun svizra

Département fédéral de l'environnement, des transports,
de l'énergie et de la communication DETEC

Office fédéral de l'environnement OFEV

STATISTIQUE DES CRUES

RAPPORT DE STATION

Areuse - Boudry

Explications additionnelles : [guide de lecture](#)
Contact : hydroanalysen@bafu.admin.ch

Table des matières

| | | |
|---------------|--|-----------|
| 1 | Base de données | 2 |
| 2 | Résultats des méthodes paramétriques | 6 |
| 2.1 | Méthode de Block Maximum (BLOCK) | 7 |
| 2.1.1 | Période d'étude totale : 1924-2015 | 7 |
| 2.1.1.a | Variante stationnaire du modèle | 7 |
| 2.1.1.b | Variante non stationnaire du modèle | 9 |
| 2.1.2 | Période de comparaison : 1974-2015 | 11 |
| 2.1.2.a | Variante stationnaire du modèle | 11 |
| 2.2 | Méthode de Peaks Over Threshold (POT) | 12 |
| 2.2.1 | Période d' étude POT : 1974-2015 | 13 |
| 2.2.1.a | Variante stationnaire du modèle | 13 |
| 3 | Comparaison des résultats | 16 |
| 3.1 | Evaluation des différentes périodes d'étude | 16 |
| 3.2 | Comparaison globale des diverses variantes | 16 |
| 4 | Bibliographie | 18 |
| Annexe | | 19 |
| A | Détermination de la valeur seuil pour délimiter les valeurs extrêmes | 19 |
| B | Glossaire | 20 |

1 Base de données

Les données sur les débits ci-après sont disponibles et servent de base à l'évaluation statistique des extrêmes :

| Données disponibles | de | à |
|---|------------|------------|
| Maxima mensuels sous forme numérique | 01.01.1904 | 31.12.2015 |
| Maxima journaliers sous forme numérique | 01.01.1974 | 05.07.1974 |
| | 07.07.1974 | 13.02.1975 |
| | 15.02.1975 | 10.07.1975 |
| | 12.07.1975 | 31.08.1975 |
| | 10.09.1975 | 31.12.2015 |

Un limnigraphe a été mis en service le 28. mars 1923. Depuis le début des relevés et jusqu'au 31 décembre 1948, les mesures ont été effectuées à la station 2060 Champ du Moulin (station principale) ; du 1er janvier 1949 à 31 décembre 1982 à la station 0060 Champ du Moulin (station totale) ; depuis le 1er janvier 1983, à l'emplacement actuel (2480 Areuse - Boudry). Les données manquantes dans la série des maxima journaliers s'expliquent par les lacunes dans les relevés à la station secondaire de la station 0060.

Les évaluations utilisent soit les maxima mensuels lorsqu'ils ont été mesurés pour des années entières à l'aide du limnigraphe ou les maxima journaliers sous forme numérique (cf. chapitre 2).

Le débit le plus élevé a été observé comme suit :

| Pointe de débit maximale | Date | Débit |
|----------------------------------|-------------|-----------------------|
| Maximum journalier le plus élevé | 15.02.1990 | 168 m ³ /s |
| Maximum mensuel le plus élevé | 15.02.1990 | 168 m ³ /s |

Les données sur le débit présentent les caractéristiques ci-après :

| Mode d'écoulement | Description |
|------------------------------|---|
| Régime d'écoulement | Pluvial jurassien : Débits élevés en hiver et au printemps, faibles en été. |
| Amplitude de la saisonnalité | Nettement perceptible dans les maxima mensuels et journaliers. (figure 3 et figure 4) |
| Influences | Influence faible de plusieurs centrales au fil de l'eau, mises en service à 1887, 1896, 1897, 1914, 1956 et 1988. Soit les influences sont antérieures à la période d'étude, soit elles ne sont pas perceptibles dans les données recueillies (cf. figure 2). |

Les maxima annuels varient entre 50 et 170 m³/s environ, les valeurs mesurées affichant une dispersion grande dans cette fourchette. Deux valeurs supérieures à 150 m³/s constituent les maxima annuels les plus élevés, tandis que la plupart des valeurs se situent entre 70 et 125 m³/s. Aucune tendance ne se dessine avec le temps. L'analyse des points de rupture révèle un point de rupture non significatif aux environs de 2003 (intervalle de confiance pas calculable). Ce point n'est perceptible dans les données que peu : Depuis 2003, les relevés ne font plus état de maxima annuels élevés. (cf. figure 2). Ce point de rupture n'a pas d'explication hydrologique cependant, car il est impossible de le mettre sur le compte d'une éventuelle modification du mode d'écoulement. Nous renonçons donc à définir une période d'étude à partir de ce point.

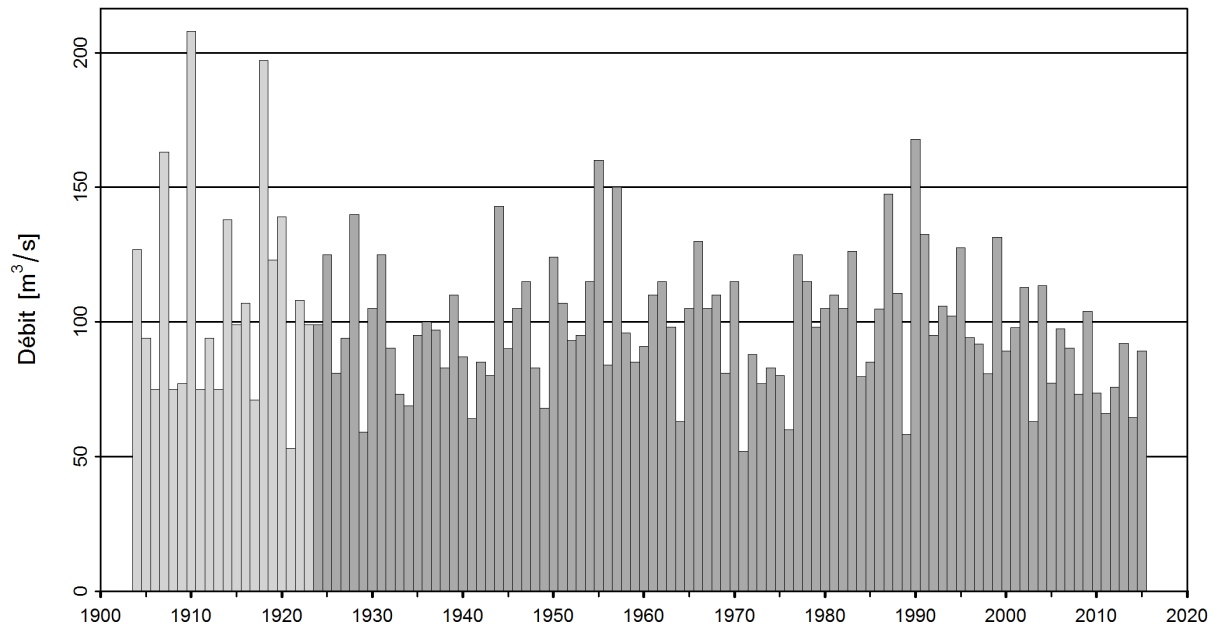


FIGURE 1 – Série chronologique des maxima annuels [m³/s] (1904 - 2015, gris clair : maxima non pris en compte dans la statistique, gris foncé : maxima annuels pris en compte)

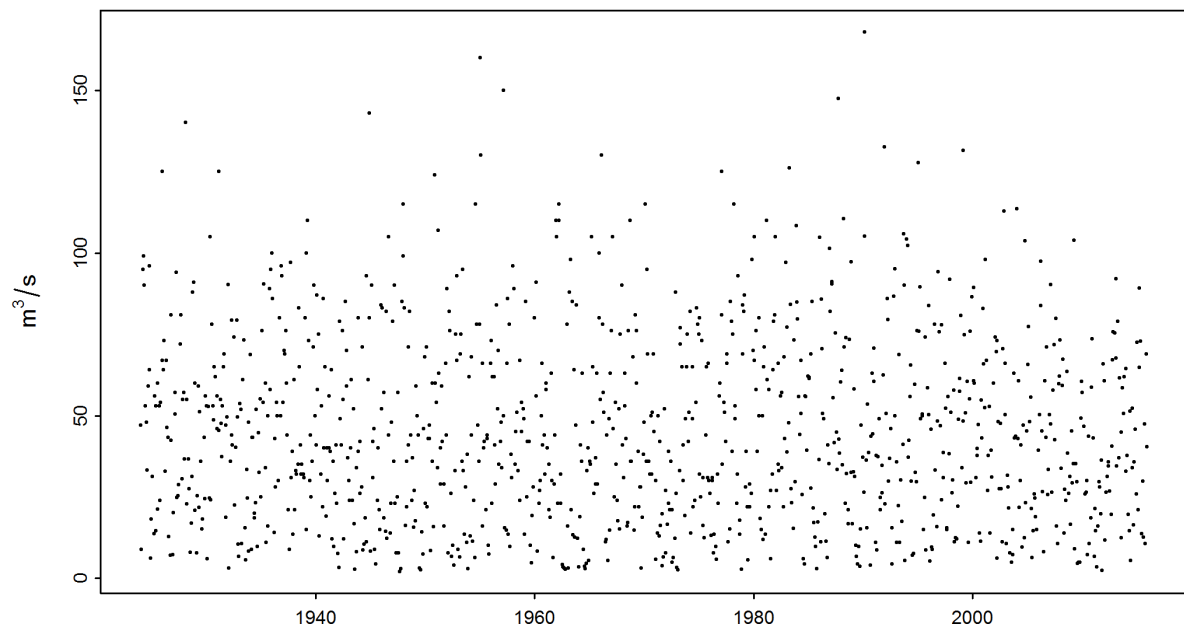


FIGURE 2 – Série chronologique des maxima mensuels [m³/s] (01.01.1924 - 31.12.2015)

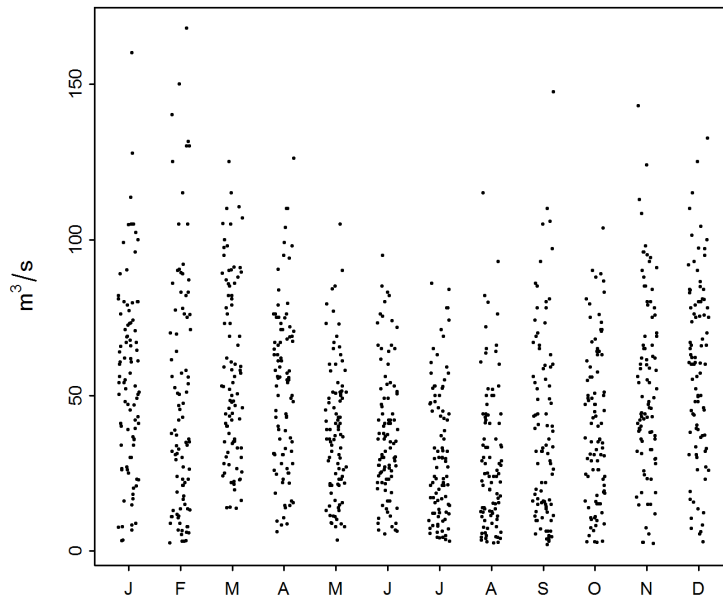


FIGURE 3 – Variations saisonnières des maxima mensuels [m^3/s] (01.01.1924 - 31.12.2015)

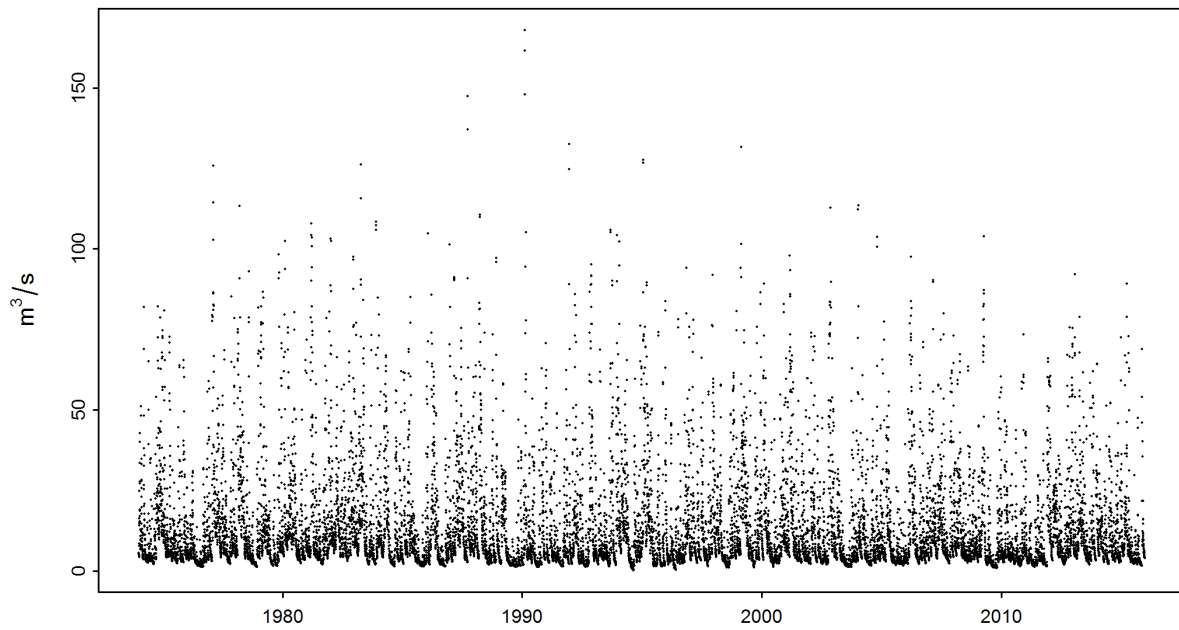


FIGURE 4 – Série chronologique des maxima journaliers [m^3/s] (01.01.1974 - 31.12.2015)

Conclusion concernant les variantes du modèle

| Changements | Impact | Conclusions |
|---|-------------|---------------------------|
| centrales au fil de l'eau à partir de 1956 & 1988 | très faible | probablement stationnaire |

Analyse des points de rupture

| Année | Point de rupture significatif | Conclusions |
|-------------|-------------------------------|--|
| 2002 / 2003 | non | Pas de subdivision de la période d'étude, car la documentation concernant la station et le bassin versant ne la justifient pas. L'année 2003 est définie comme t_0 (cf. chapitre 2). |

2 Résultats des méthodes paramétriques

La probabilité des crues HQ_T est estimée à l'aide de deux méthodes paramétriques (BLOCK et POT). Ces deux méthodes se distinguent par leur manière d'identifier les valeurs extrêmes. Elles se fondent sur les paramètres et les données d'entrée ci-après :

| Méthode paramétrique | Paramètre | Données utilisées |
|----------------------------|---|--------------------|
| Block Maximum (BLOCK) | μ Paramètre de position | Maxima annuels |
| | σ Paramètre d'échelle | |
| | κ Paramètre de forme | |
| Peaks Over Threshold (POT) | λ Taux d'occurrences | Maxima journaliers |
| | σ Paramètre d'échelle ¹ | |
| | κ Paramètre de forme | |

Dans les deux méthodes paramétriques, on calcule toujours le cas stationnaire. On suppose à cet effet que tous les paramètres de la fonction de répartition demeurent constants sur toute la période étudiée. Si l'historique de la station donne toutefois à penser qu'un changement est intervenu au fil du temps, les paramètres de la fonction de répartition correspondante peuvent être modélisés en fonction du temps. Les variantes de modèle utilisées sont présentées dans les tableaux 1 et 2 ci-après :

TABLE 1 – Variantes de la méthode BLOCK. μ Paramètre de position (mu), σ Paramètre d'échelle (sigma), κ Paramètre de forme (kappa)

| Variantes de la méthode BLOCK | | | |
|-------------------------------|---|---|----------------------|
| Nom | Description | Paramètre (t : année) | Nombre de paramètres |
| stat | Variante stationnaire | μ, σ, κ | 3 |
| mul | Tendance linéaire de μ | $\mu = a_1 + a_2 * t, \sigma, \kappa$ | 4 |
| muq | Tendance quadratique de μ | $\mu = a_1 + a_2 * t + a_3 * t^2, \sigma, \kappa$ | 5 |
| sigl | Tendance linéaire de σ | $\mu, \sigma = b_1 + b_2 * t, \kappa$ | 4 |
| musigl | Tendance linéaire de μ et σ | $\mu = a_1 + a_2 * t, \sigma = b_1 + b_2 * t, \kappa$ | 5 |
| mujump | Évolution non continue de μ au moment t_0 | $\mu = a_1 + a_2 * i, \sigma, \kappa, i = 0$ pour $t < t_0, i = 1$ quand $t \geq t_0$ | 4 |

TABLE 2 – Variantes de la méthode POT. σ Paramètre d'échelle (sigma), κ Paramètre de forme (kappa)

| Variantes de la méthode POT | | | |
|-----------------------------|--|--|----------------------|
| Nom | Description | Paramètre (t : année) | Nombre de paramètres |
| stat | Variante stationnaire | σ, κ | 2 |
| sigl | Tendance linéaire de σ | $\sigma = b_1 + b_2 * t, \kappa$ | 3 |
| sigjump | Évolution non continue de σ au moment t_0 | $\sigma = b_1 + b_2 * i, \kappa, i = 0$ pour $t < t_0, i = 1$ quand $t \geq t_0$ | 3 |

La qualité des variantes est toujours évaluée à l'aide d'un Probability Plot et d'un Quantile Plot (cf. p. ex. figure 5 ci-dessus et [Guide de lecture](#) point 2.2.3). Plus les données sont proches de la première bissectrice, plus il est possible de supposer que les hypothèses du modèle sont correctes. Un ordinogramme est utilisé pour décider quel modèle non stationnaire sera utilisé par la suite (cf. figure 5 du [Guide de lecture](#) point 2.1.3). Les variantes présentées ci-après sont celles qui fournissent les meilleurs résultats.

1. La valeur numérique du paramètre d'échelle σ de la méthode POT n'est pas identique à celle du paramètre d'échelle σ de la méthode BLOCK.

2.1 Méthode de Block Maximum (BLOCK)

Dans la méthode de Block Maximum, la valeur maximale enregistrée au cours d'un intervalle de temps (ou «bloc», qui équivaut ici à une année) correspond à la valeur extrême.

Le présent rapport décrit les variantes suivantes de la méthode BLOCK :

| Période d'étude | Description | Variante sélectionnée | Point |
|-----------------|------------------------|-----------------------|---------------|
| 1924 - 2015 | période d'étude totale | stat | point 2.1.1.a |
| | | mujump | point 2.1.1.b |

2.1.1 Période d'étude totale : 1924-2015

2.1.1.a Variante stationnaire du modèle

| Méthode | Variante | Période d'étude | Données d'entrée | Remarque |
|---------|----------|-----------------|------------------|----------|
| BLOCK | stat | 1924-2015 | Maxima annuels | - |

Nombre de valeurs utilisées et estimation des valeurs paramétriques :

| Nombre de valeurs n | Paramètre de position $\hat{\mu}$ | Paramètre d'échelle $\hat{\sigma}$ | Paramètre de forme $\hat{\kappa}$ |
|---------------------|-----------------------------------|------------------------------------|-----------------------------------|
| 92 | 88.28 | 20.82 | -0.1251 |

La qualité de la variante «stat» pour la période d'étude totale est évaluée sur une base graphique à l'aide des graphiques diagnostiques de la figure 5.

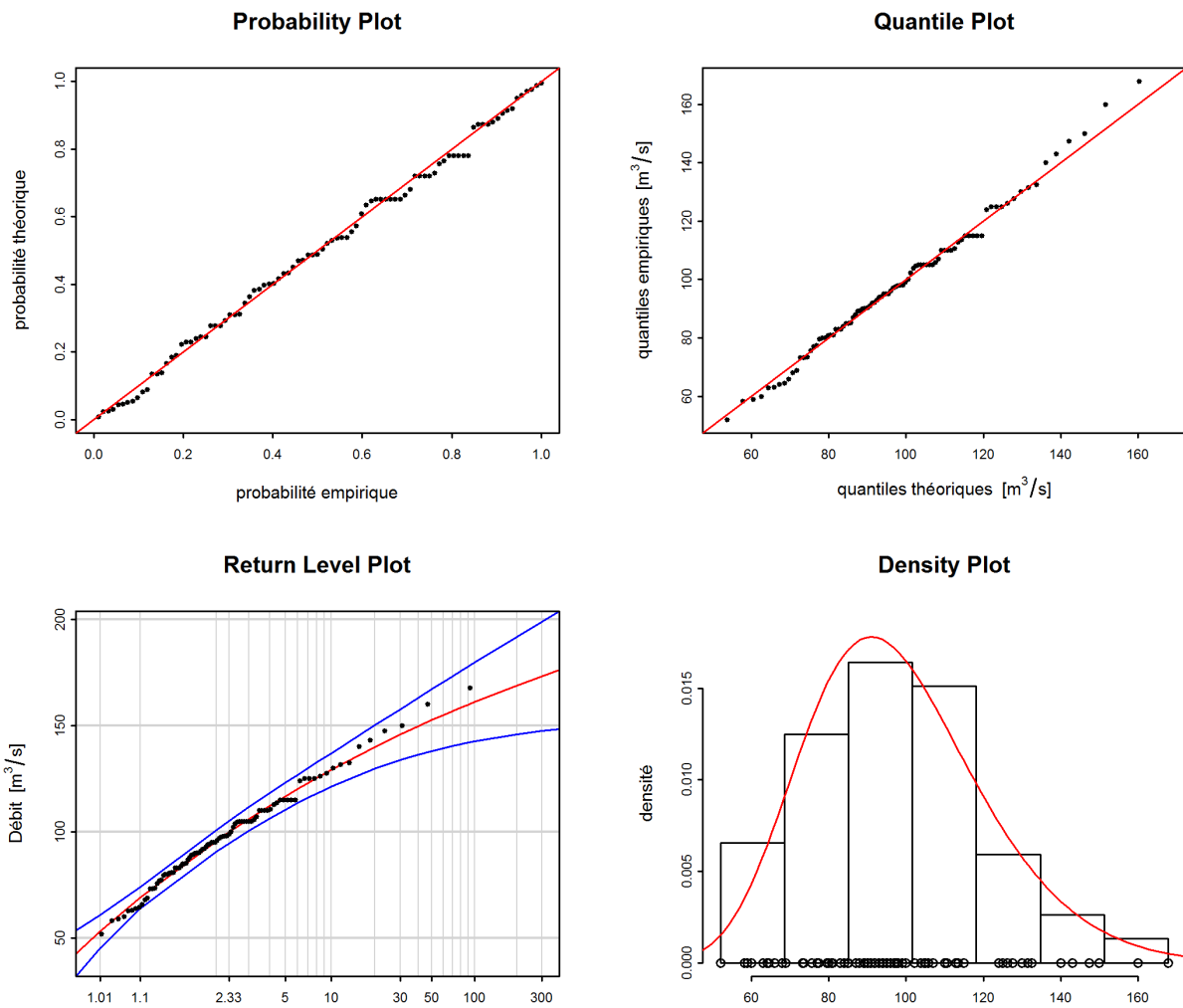


FIGURE 5 – Graphiques diagnostiques de la variante «stat» de la méthode BLOCK(1924-2015)

Evaluation des graphiques diagnostiques (figure 5) :

| Critères | Evaluation ² | Remarques |
|--------------------------------------|-------------------------|---|
| Adéquation dans le domaine inférieur | bonne | - |
| Adéquation dans le domaine moyen | bonne-moyenne | dispersion des valeurs moyenne |
| Adéquation dans le domaine supérieur | moyenne | les valeurs les plus élevées sont tous légèrement sous-estimées |
| Intervalle de confiance | faible | - |

2. cf. [guide de lecture](#) point 2.2.3

Le tableau ci-après présente, les débits, de l'année la plus récente, déterminés pour différentes périodes de retour à l'aide de la variante stationnaire de la méthode BLOCK sur la période d'étude totale 1924-2015 (y. c. l'intervalle de confiance à 95 % établi selon la méthode delta) :

| HQ _T | Limite de confiance inférieure [m ³ /s] | Débit [m ³ /s] | Limite de confiance supérieure [m ³ /s] |
|-------------------|--|---------------------------|--|
| HQ ₂ | 90.7 | 95.7 | 101 |
| HQ ₁₀ | 121 | 129 | 137 |
| HQ ₃₀ | 134 | 146 | 158 |
| HQ ₁₀₀ | 143 | 161 | 180 |
| HQ ₃₀₀ | 147 | 173 | 199 |

2.1.1.b Variante non stationnaire du modèle

La comparaison des différentes variantes de la méthode BLOCK montre que seulement la variante «mujump» diffère de manière significative du modèle stationnaire.³Le présent rapport s'en tient dès lors aux résultats de la variante «mujump» (cf. figure 5 du [guide de lecture](#)).

| Méthode | Variante | Période d'étude | Données d'entrée | Remarque |
|---------|------------|-----------------|------------------|----------|
| BLOCK | mujump2003 | 1924-2015 | Maxima annuels | - |

Nombre de valeurs utilisées et estimation des valeurs paramétriques :

| Nombre de valeurs n | Paramètre de position $\hat{\mu}^4$ | | Paramètre d'échelle $\hat{\sigma}$ | Paramètre de forme $\hat{\kappa}$ |
|---------------------|-------------------------------------|--------|------------------------------------|-----------------------------------|
| | a_1 | a_2 | | |
| 92 | 90.77 | -13.91 | 20.57 | -0.1464 |

La qualité de la variante «mujump2003» pour la période d'étude totale est évaluée sur une base graphique à l'aide des graphiques diagnostiques de la figure 6.

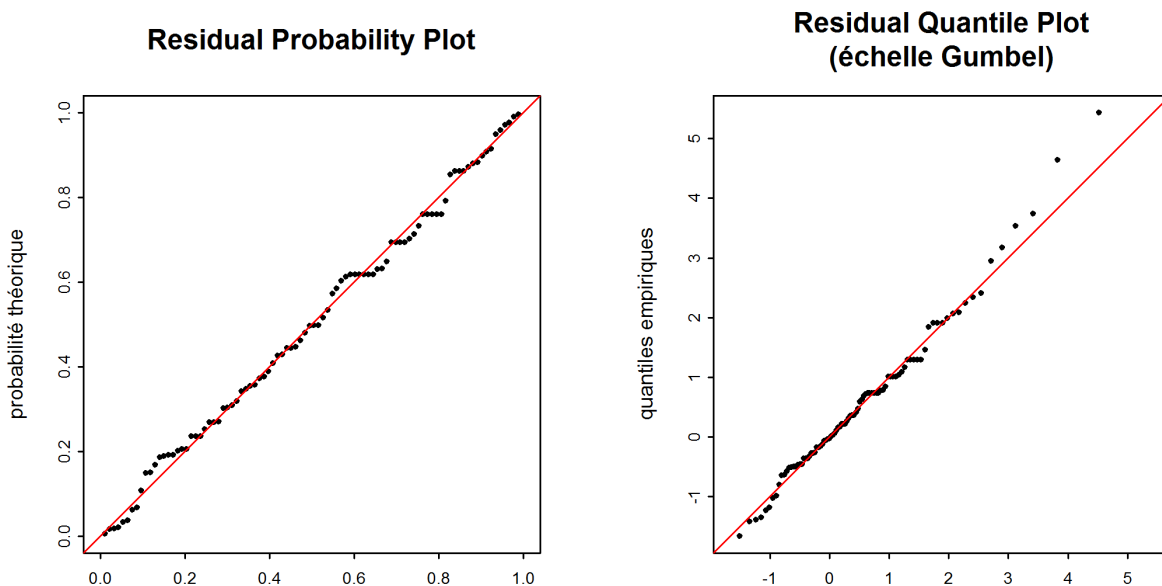


FIGURE 6 – Graphiques diagnostiques de la variante «mujump2003» de la méthode BLOCK (1924-2015)

3. Sur la base de l'analyse des points de rupture, l'année 2003 est choisie comme temps t_0 pour la variante «mujump» (cf. point 1).

4. $\hat{\mu} = a_1 + a_2 * i$, $i = 0$ pour $t < t_0$, $i = 1$ quand $t \geq t_0$ (cf. tableau 1)

Évaluation des graphiques diagnostiques (Figure 6) :

| Critères | Évaluation ⁵ | Remarques |
|---|-------------------------|---|
| Adéquation dans le domaine inférieur | bonne | - |
| Adéquation dans le domaine moyen | bonne-moyenne | dispersion des valeurs moyenne |
| Adéquation dans le domaine supérieur | moyenne-faible | les valeurs les plus élevées sont tous légèrement sous-estimées |
| Comparaison avec la variante stationnaire | moins bonne | les deux valeurs les plus élevées sont sous-estimées plus fortement |

Le tableau ci-après présente les débits, de l'année la plus récente (2015), déterminés pour différentes périodes de retour à l'aide de la variante «mujump2003» de la méthode BLOCK sur la période d'étude totale 1924-2015 (y. c. l'intervalle de confiance à 95 % établi selon la méthode delta) :

| HQ _T | Limite de confiance inférieure [m ³ /s] | Débit [m ³ /s] | Limite de confiance supérieure [m ³ /s] |
|-------------------|--|---------------------------|--|
| HQ ₂ | 72.4 | 84.2 | 96 |
| HQ ₁₀ | 103 | 116 | 130 |
| HQ ₃₀ | 115 | 132 | 148 |
| HQ ₁₀₀ | 125 | 146 | 167 |
| HQ ₃₀₀ | 130 | 156 | 183 |

La figure 7 illustre la modification entre 1924 et 2015 du débit HQ₁₀₀ calculé à l'aide de la variante «mujump2003».

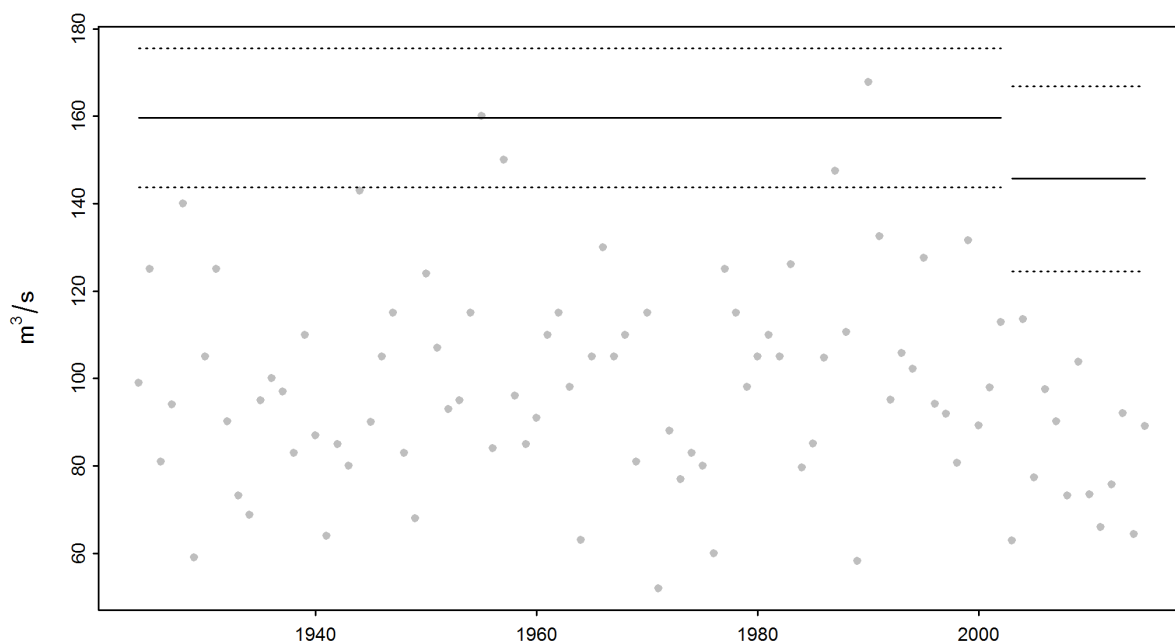


FIGURE 7 – Modification des HQ₁₀₀ (calculés à l'aide de la variante «mujump2003») et de l'intervalle de confiance à 95 % (méthode delta ; lignes en traitillé) durant la période 1924-2015

5. Cf. [guide de lecture](#) point 2.2.3

2.1.2 Période de comparaison : 1974-2015

2.1.2.a Variante stationnaire du modèle

| Méthode | Variante | Période d'étude | Données d'entrée | Remarque |
|---------|----------|-----------------|------------------|----------|
| BLOCK | stat | 1974-2015 | Maxima annuels | - |

Nombre de valeurs utilisées et estimation des valeurs paramétriques :

| Nombre de valeurs n | Paramètre de position $\hat{\mu}$ | Paramètre d'échelle $\hat{\sigma}$ | Paramètre de forme $\hat{\kappa}$ |
|---------------------|-----------------------------------|------------------------------------|-----------------------------------|
| 42 | 87.52 | 20.6 | -0.0971 |

La qualité de la variante «stat» pour la période de comparaison est évaluée sur une base graphique à l'aide des graphiques diagnostiques de la figure 8.

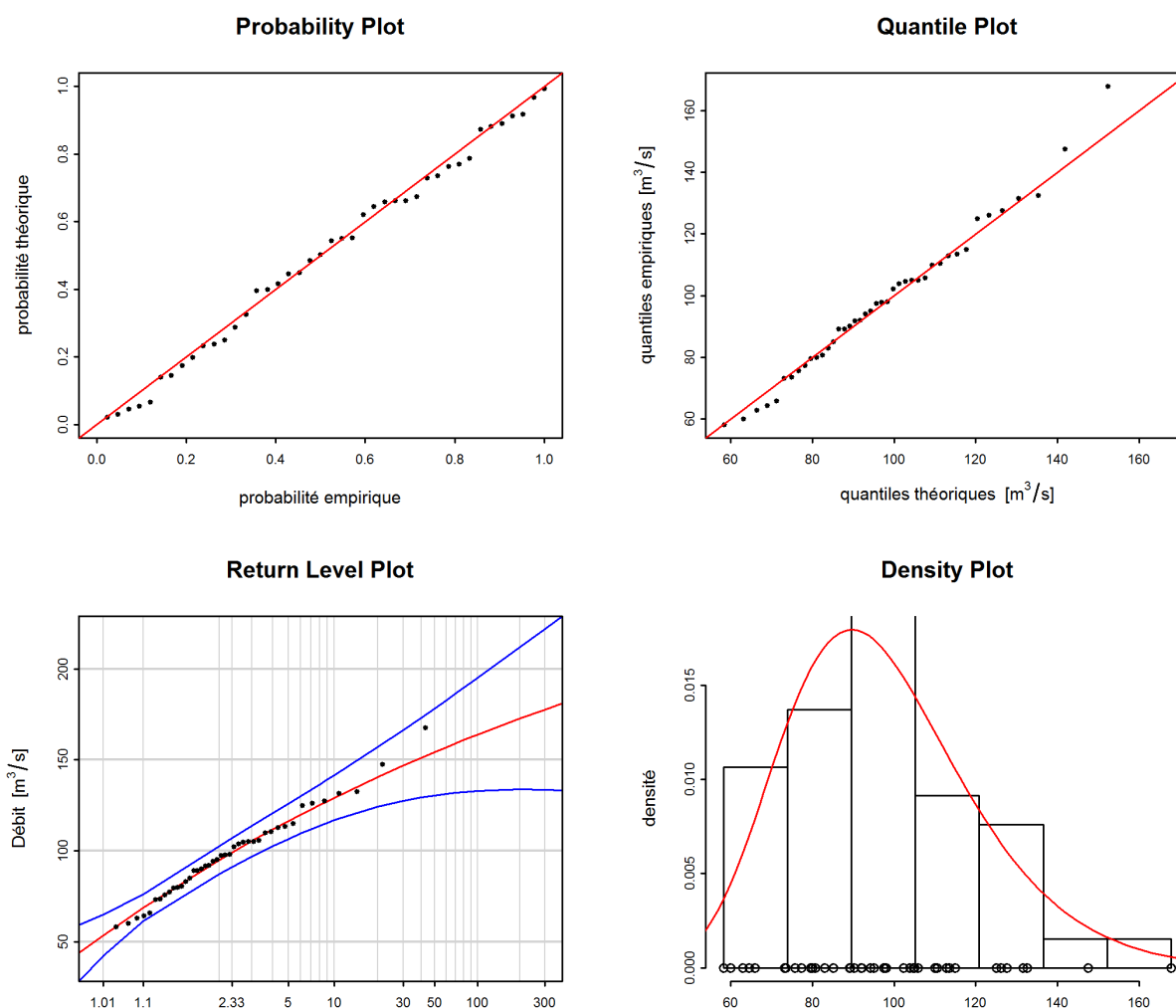


FIGURE 8 – Graphiques diagnostiques de la variante «stat» de la méthode BLOCK (1974-2015)

Evaluation des graphiques diagnostiques (figure 8) :

| Critères | Evaluation ⁶ | Remarques |
|--------------------------------------|-------------------------|--|
| Adéquation dans le domaine inférieur | bonne | - |
| Adéquation dans le domaine moyen | bonne | - |
| Adéquation dans le domaine supérieur | moyenne | les deux valeurs les plus élevées sont sous-estimées |
| Intervalle de confiance | faible-moyen | plus élevé pour des périodes de retour plus grandes |

Le tableau ci-après présente, les débits, de l'année la plus récente, déterminés pour différentes périodes de retour à l'aide de la variante stationnaire de la méthode BLOCK sur la période de comparaison 1974-2015 (y. c. l'intervalle de confiance à 95 % établi selon la méthode delta) :

| HQ _T | Limite de confiance inférieure [m ³ /s] | Débit [m ³ /s] | Limite de confiance supérieure [m ³ /s] |
|-------------------|--|---------------------------|--|
| HQ ₂ | 87.4 | 94.9 | 103 |
| HQ ₁₀ | 117 | 129 | 141 |
| HQ ₃₀ | 128 | 147 | 166 |
| HQ ₁₀₀ | 133 | 164 | 195 |
| HQ ₃₀₀ | 134 | 178 | 222 |

2.2 Méthode de Peaks Over Threshold (POT)

La méthode «Peaks over Threshold» (POT) considère comme événements extrêmes ceux qui dépassent une valeur seuil u élevée.

Les calculs selon la méthode POT se fondent sur les maxima journaliers à partir de 1974. Auparavant, il importe toutefois de corriger ces données de l'effet cluster. Dans le cas de Areuse - Boudry, l'intervalle de temps L entre deux événements indépendants est fixé à 11 jours au minimum.

L'analyse porte sur les variantes ci-après de la méthode POT :

| Période d'étude | Description | Variante sélectionnée | Point |
|-----------------|---------------------|-----------------------|---------------|
| 1974 - 2015 | période d'étude POT | stat | point 2.2.1.a |

Aucune différence significative ne sépare la variante stationnaire et les variantes non stationnaires du modèle sur la période d'étude POT. ⁷

6. cf. [guide de lecture](#) point 2.2.3

7. L'année 2003 a été choisie comme t_0 pour la variante «sigjump» du modèle.

2.2.1 Période d' étude POT : 1974-2015

Dans ce cas, la valeur seuil u a été fixée à $73 \text{ m}^3/\text{s}$ (cf. annexe A). La figure 9 indique les événements extrêmes qui ont effectivement été utilisés.

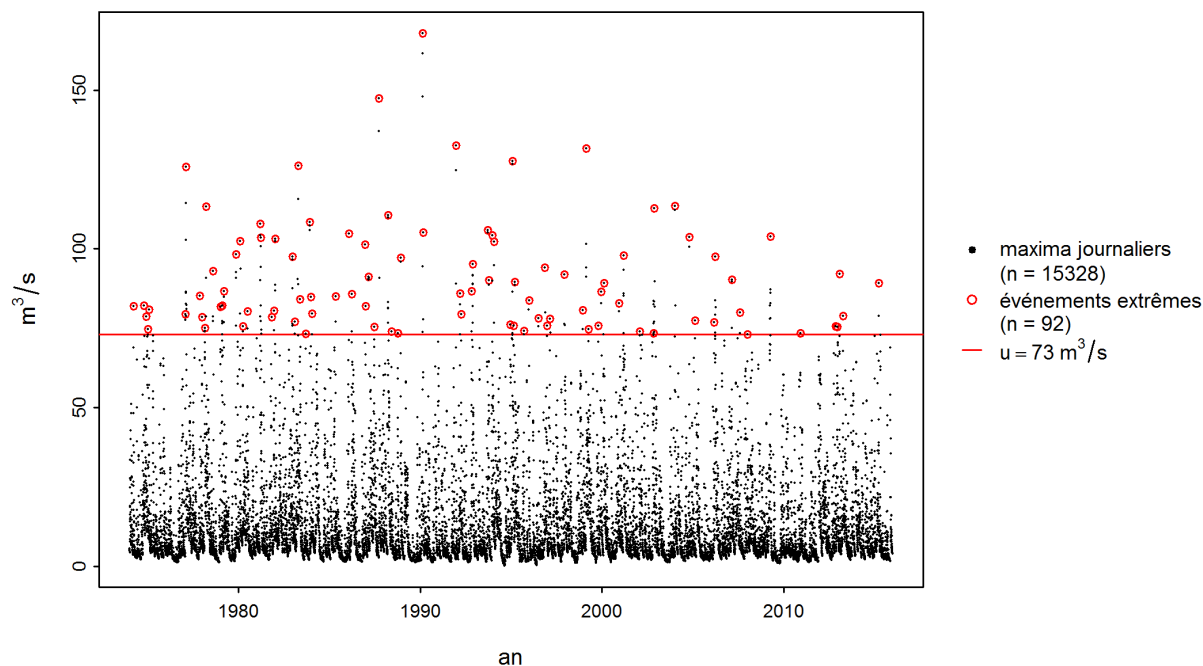


FIGURE 9 – Sélection des valeurs extrêmes utilisées dans la méthode POT

2.2.1.a Variante stationnaire du modèle

| Méthode | Variante | Période d'étude | Données d'entrée | Remarque |
|---------|----------|-----------------|--------------------|----------|
| POT | stat | 1974-2015 | Maxima journaliers | - |

Nombre de valeurs utilisées et estimation des valeurs paramétriques :

| Valeur seuil | Nombre de Valeurs | Taux d'occurrences | Paramètre d'échelle | Paramètre de forme |
|---------------------------|-------------------|--------------------|---------------------|--------------------|
| u | n | $\hat{\lambda}$ | $\hat{\sigma}$ | $\hat{\kappa}$ |
| $73 \text{ m}^3/\text{s}$ | 92 | 2.19 | 18.21 | -0.0133 |

La qualité de la variante «stat» pour la période d' étude POT est évaluée sur une base graphique à l'aide des graphiques diagnostiques de la figure 10.

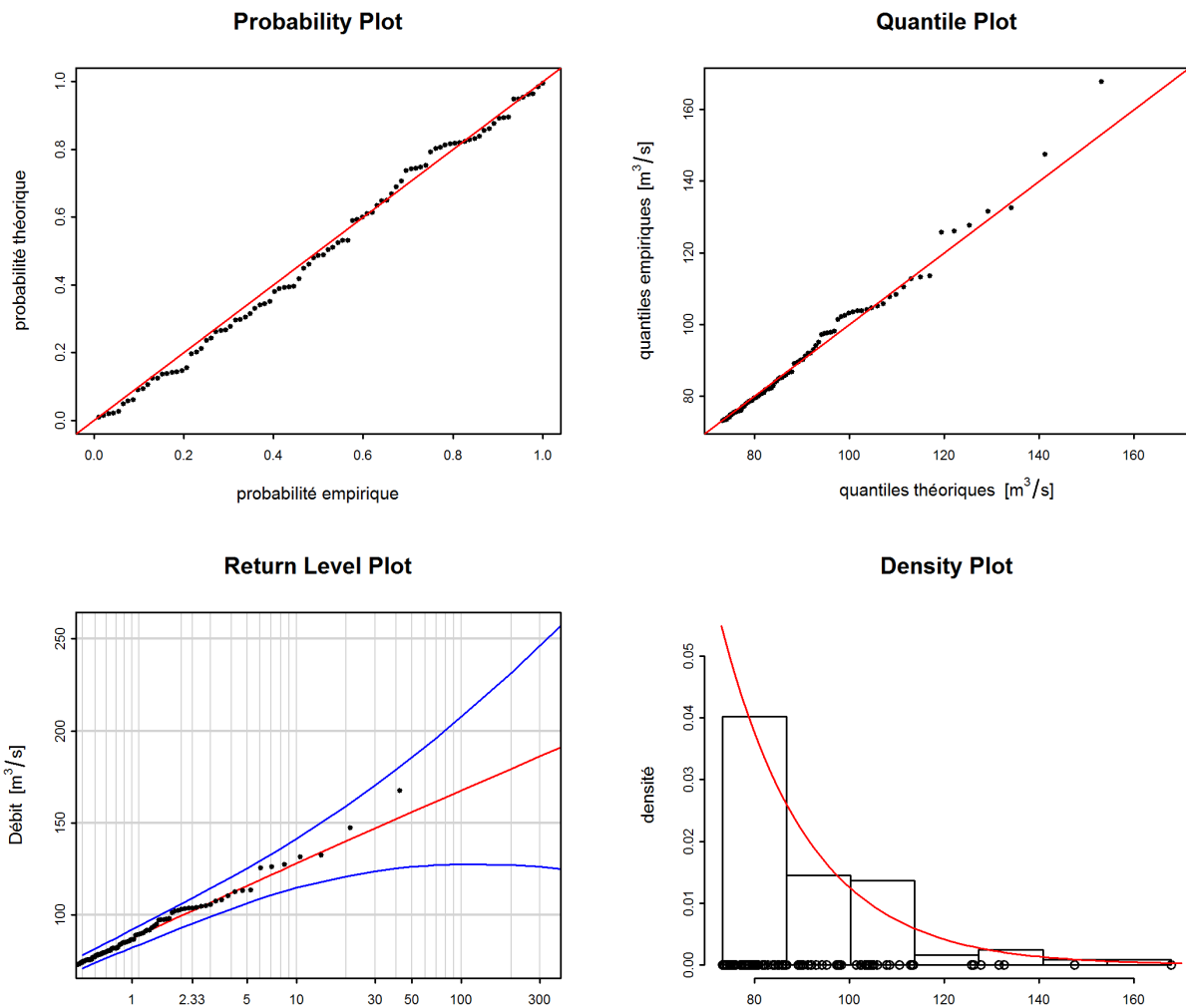


FIGURE 10 – Graphiques diagnostiques de la variante «stat» de la méthode POT (1974-2015)

Evaluation des graphiques diagnostiques (Figure 10) :

| Critères | Evaluation ⁸ | Remarques |
|--------------------------------------|-------------------------|--|
| Adéquation dans le domaine inférieur | bonne | - |
| Adéquation dans le domaine moyen | moyenne | dispersion des valeurs relativement grande |
| Adéquation dans le domaine supérieur | moyenne | les deux valeurs les plus élevées sont sous-estimées |
| Intervalle de confiance | moyen-élevé | très élevé pour des périodes de retour grandes |

8. cf. [guide de lecture](#) point 2.2.3

Le tableau ci-après présente, les débits, de l'année la plus récente, déterminés pour différentes périodes de retour à l'aide de la variante stationnaire de la méthode POT sur la période d'étude POT 1974-2015 (y. c. l'intervalle de confiance à 95 % établi selon la méthode delta) :

| HQ_T | Limite de confiance inférieure [m³/s] | Débit [m³/s] | Limite de confiance supérieure [m³/s] |
|-----------------------|---|--------------------------------|---|
| HQ ₂ | 93 | 99.6 | 106 |
| HQ ₁₀ | 115 | 128 | 141 |
| HQ ₃₀ | 124 | 147 | 171 |
| HQ ₁₀₀ | 128 | 168 | 208 |
| HQ ₃₀₀ | 126 | 186 | 246 |

3 Comparaison des résultats

La figure 11 présente les HQ_T obtenus à l'aide de la variante stationnaire et des variantes non stationnaires, qui s'avèrent les mieux adaptées aux données dans les deux méthodes paramétriques. Tant les valeurs que la taille de l'intervalle de confiance, qui est une mesure de l'incertitude, varient beaucoup. Ces écarts sont en général d'autant plus grands que la période de retour T est grande et le nombre des données de base petit.

3.1 Evaluation des différentes périodes d'étude

Seule la méthode BLOCK, qui se fonde sur l'étude des maxima mensuels, permet d'analyser la période d'étude 1924 - 2015. Les résultats de cette méthode ont été comparés pour les différentes périodes d'étude, afin d'illustrer l'influence de la période de mesure :

| Périodes | HQ_T | Intervalle de confiance |
|--|-----------------------|--|
| Période de comparaison / Période d'étude totale | à peu près équivalent | nettement plus grand dans la période de comparaison |

Les débits HQ_T ne varient guère au fil du temps, de sorte que les niveaux de retour ne diffèrent guère pendant la période de comparaison. Mais vu le petit nombre de données disponibles, l'intervalle de confiance est plus grand pour la période de comparaison que sur l'ensemble de la période d'étude.

3.2 Comparaison globale des diverses variantes

La figure 11 et le tableau correspondant récapitulent les résultats des différentes variantes des méthodes paramétriques. Cette juxtaposition débouche sur les constats suivants :

Différences entre les résultats pour les HQ_T calculés à l'aide des deux méthodes :

Les HQ_T de la méthode POT sont légèrement supérieur à ceux de la méthode BLOCK pour des périodes de retour grandes et à plus près équivalent pour des périodes de retour petites.

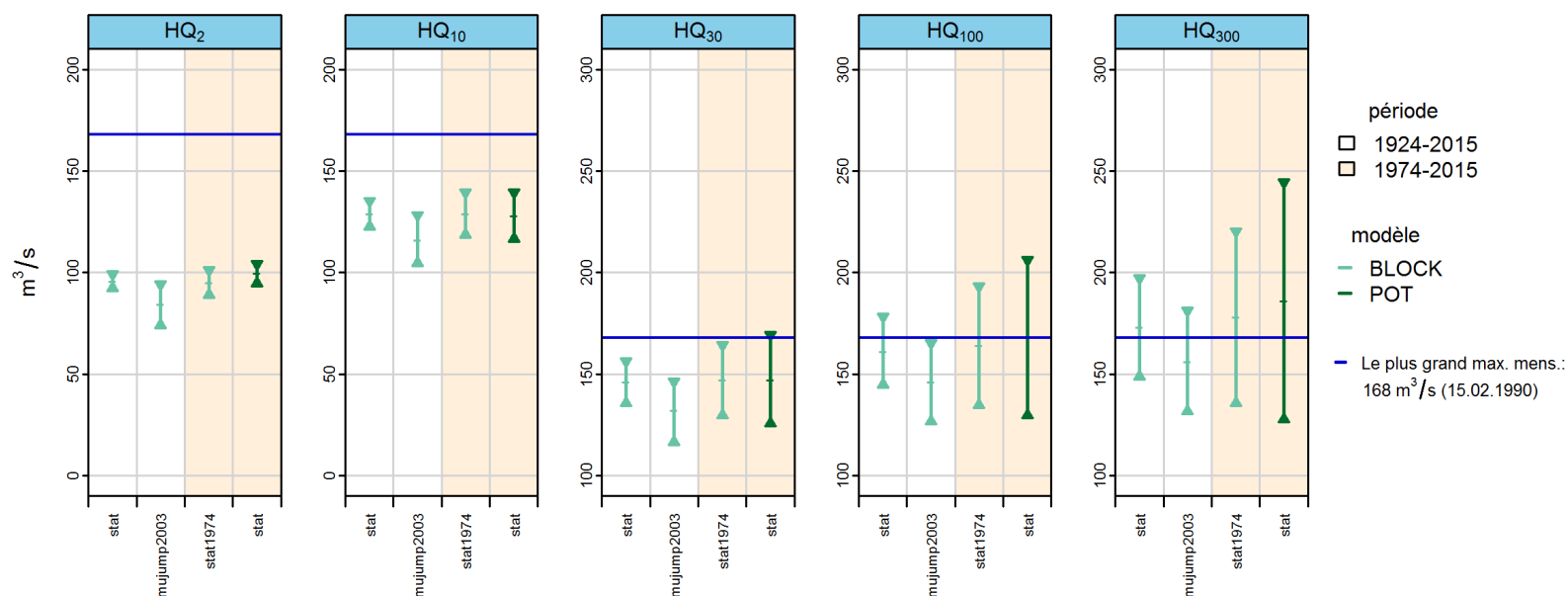
Différences entre les intervalles de confiance calculés selon les deux méthodes :

En général, les incertitudes, et dès lors les intervalles de confiance, augmentent lorsque la période de retour T s'allonge. Les intervalles de confiance établis par la méthode POT sont nettement plus grands que ceux de la méthode BLOCK pour la période de comparaison et légèrement plus grand que ceux de la période d'étude totale.

Comparaison entre variantes stationnaires et variantes non stationnaires :

Dans le cas de la méthode BLOCK, l'application d'une variante non stationnaire n'améliore pas la qualité du modèle, même si la diminution de la fréquence de grandes crues au cours de ces dernières années est prise en compte dans le modèle. Les niveaux de retour calculés pour l'année 2015 sont par conséquent inférieurs à ceux obtenus à l'aide des variantes stationnaires. Cela revient toutefois à sous-estimer les niveaux de retour élevés encore plus. Il est impossible de tirer des conclusions quant à l'évolution future, car rien ne permet d'identifier les causes exactes des modifications.

Les résultats de ces applications statistiques ne constituent que l'une des bases pour répondre à des questions concrètes. D'autres connaissances sur les spécificités hydrologiques du bassin versant, des réflexions sur le pire scénario en matière de précipitations et de débits, etc. sont en effet indispensables pour estimer le risque de crue. La division Hydrologie de l'OFEV préconise une manière de procéder «étayée par des arguments hydrologiques» , telle qu'elle est décrite par Merz et Blöschl (2008, cités dans DWA 2012 :52).



L1

FIGURE 11 – HQ_T [m³/s] y c. un intervalle de confiance à 95 % calculé à l'aide du modèle stationnaire ainsi qu'au moyen de la meilleure variante de la méthode BLOCK et POT pour l'année 2015

| Période d'étude | Méthode | Adéquation | | | Remarque |
|-----------------|------------------|------------|---------------|----------------|--|
| 1924 - 2015 | BLOCK stat | bonne | bonne-moyenne | moyenne | les valeurs les plus élevées sont tous légèrement sous-estimées |
| | BLOCK mujump2003 | bonne | bonne-moyenne | moyenne-faible | les valeurs les plus élevées sont tous légèrement sous-estimées les deux valeurs les plus élevées sont sous-estimées plus fortement |
| 1974 - 2015 | BLOCK stat | bonne | bonne | moyenne | les deux valeurs les plus élevées sont sous-estimées |
| 1974 - 2015 | POT stat | bonne | moyenne | moyenne | les deux valeurs les plus élevées sont sous-estimées |

4 Bibliographie

Baumgartner, E., Boldi, M.-O., Kan, C., Schick, S. (2013) : Hochwasserstatistik am BAFU - Diskussion eines neuen Methodensets. Wasser Energie Luft, Heft 2/2013. Baden.

Coles, S. (2001) : An Introduction to Statistical Modeling of Extreme Values. Springer. London.

DWA (éd.) (2012) : Merkblatt DWA-M 552. Ermittlung von Hochwasserwahrscheinlichkeiten. Deutsche Vereinigung für Wasserwirtschaft, Abwasser und Abfall e. V. Hennef.

OFEG (éd.) (2003a) : Dictionnaire de la protection contre les crues. Haupt Verlag, Bern.

OFEG (éd.) (2003b) : Evaluation des crues dans les bassins versants de Suisse. Guide pratique. Rapports de l'OFEG. Série Eaux No 4, Berne.

OFEV (2015) : Rapports des stations sur la statistique des crues - Guide de lecture. BAFU, Bern.

Annexe

A Détermination de la valeur seuil pour délimiter les valeurs extrêmes

La valeur seuil u qui sert à délimiter les extrêmes de la méthode POT pour la période d'étude 1974 - 2015 (cf. point 2.2.1) est fixée à $73 \text{ m}^3/\text{s}$ au moyen du «mean residual life plot» (cf. figure 12).

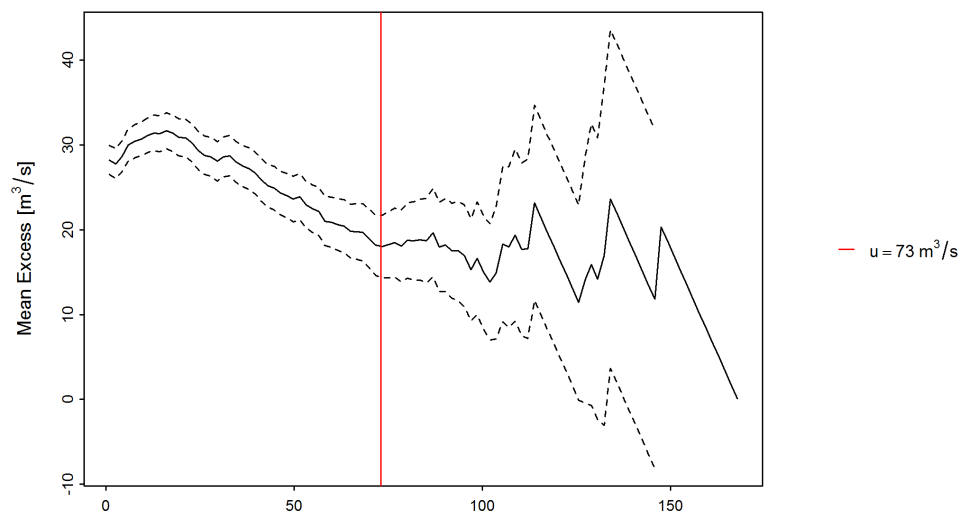


FIGURE 12 – «mean residual life plot» avec le seuil déterminé u (ligne rouge), dépassement moyen (ligne noire), intervalle de confiance à 95 % (traitillés)

B Glossaire

| | |
|--|---|
| Période d'étude | Période de temps limitée dont provient un échantillon de débits de crue, cet échantillon étant considéré comme représentatif de l'ensemble des éléments. On admet que les caractéristiques de l'ensemble des éléments sont représentées approximativement par cet échantillon. |
| Statistique de la déviance | La statistique de déviance sert à évaluer l'adéquation d'un modèle pour un certain ensemble de données. |
| Deltamethode | L'OFEV applique la méthode delta pour calculer les intervalles de confiance dans les Return Level Plots. Cette méthode se fonde sur un développement de Taylor de la fonction des HQT et sur une distribution asymptotique normale (pour les détails techniques, cf. Coles 2001, p. 33). |
| Qualité du modèle, qualité de l'ajustement ou adéquation | Mesure de l'écart qui sépare un modèle statistique (valeurs théoriques) et une quantité d'observations ou de relevés (données empiriques). |
| HQ _T | Débit de crue déterminé à l'aide d'une fonction de répartition pour une période de retour prédéfinie. Le débit HQ _T est une estimation qui peut être inférieure ou supérieure à la valeur réelle des débits de crue dont la période de récurrence statistique est de T années. Le HQ _T est également appelé «temps de retour». Les HQ _T calculés à l'aide des méthodes paramétriques sont valables pour toute une période (cas stationnaire) ou pour l'année sous revue (cas non stationnaire). |
| Intervalle de confiance | Les intervalles de confiance reflètent l'incertitude des résultats d'un modèle statistique. Ils ne tiennent cependant compte que de l'erreur inhérente au modèle, mais pas d'autres incertitudes (erreurs de mesure, p. ex.). |
| Méthode du maximum de vraisemblance | Nom d'une méthode qui estime les paramètres d'une fonction de répartition à partir des informations d'un échantillon par la maximisation de la fonction logarithmique de vraisemblance . |
| Méthode paramétrique | L'un des grands objectifs de la statistique est d'étudier les données d'un échantillon afin d'en tirer des conclusions pour un ensemble d'éléments inconnus. Les méthodes paramétriques constituent un moyen d'y parvenir. Elles partent de l'hypothèse que l'ensemble d'éléments présente une distribution des probabilités prédéfinie qui est déterminée de manière univoque par un ou plusieurs paramètres. Les deux méthodes considérées se fondent sur la distribution selon la loi d'extremum généralisée (BLOCK) et, respectivement, sur la distribution selon la loi de Pareto généralisée (POT), car ces deux distributions reflètent au mieux la nature des données (maxima par blocs et données dépassant une certaine valeur seuil) (cf. Coles 2001). |
| Méthode de Block Maximum (BLOCK) | La méthode de Block Maximum (BLOCK) définit la valeur maximale enregistrée au cours d'un intervalle de temps (ou «bloc», qui correspond ici à une année) comme étant la valeur extrême (cf. guide de lecture point 2.1.1 ou Coles 2001, point 3.1). |
| Méthode de Peaks Over Threshold (POT) | La méthode de Peaks Over Threshold (POT) considère comme valeurs extrêmes celles qui dépassent une certaine valeur seuil u (exprimée en m ³ /s ou en l/s). Avant d'être utilisées, les données sont corrigées de l'effet cluster (cf. guide de lecture point 2.1.2 ou Coles 2001, point 4.2). |

| | |
|--|---|
| Probability Plot (P-P-Plot) | Outil d'appréciation graphique qui consiste à juxtaposer les fonctions de distribution de deux variables statistiques afin de comparer leurs distributions. Il s'agit ici des fréquences empiriques cumulées et des données cumulées de la fonction théorique. Plus les données s'alignent sur la première bissectrice, plus il est permis de penser que les hypothèses du modèle sont correctes. (Ce diagramme contient les mêmes informations que le Q-Q-Plot, représentées sur une autre échelle.) |
| Quantile Plot (Q-Q-Plot) | Outil d'appréciation graphique qui consiste à juxtaposer les quantiles de deux variables statistiques, afin de comparer leur distribution. Il s'agit ici des débits observés et des débits calculés à l'aide d'un modèle. Si les quantiles empiriques et théoriques coïncident approximativement, les valeurs se situeront près de la première bissectrice du graphique. (Ce diagramme contient les mêmes informations que le P-P-Plot, représentées sur une autre échelle.) Remarque : Les quantiles théoriques sont calculés à partir de la fonction inverse de la fonction de répartition. Les axes sont dès lors permutés pour permettre une comparaison visuelle directe avec le Probability Plot correspondant. |
| Stationnarité | Lorsque l'on observe, dans une station de mesure, que le mode d'écoulement n'affiche pas de modification sensible durant la période d'observation, il est recommandé d'appliquer un modèle stationnaire. Dans ce cas, on part de l'hypothèse que tous les paramètres de la fonction de répartition demeurent constants durant toute la période d'étude. |
| Non-stationnarité | Des modèles non stationnaires sont utilisés pour décrire un mode d'écoulement qui subit des changements au fil du temps. Ces modifications peuvent avoir différentes origines : changement d'appareils et de méthodes de mesure, déplacement de la station, modification du lit du cours d'eau ou influence anthropique. Si l'influence anthropique est en cause, il est le plus souvent impossible d'attribuer les changements observés à une seule intervention, car ils résultent de la combinaison de plusieurs mesures relevant de la gestion de l'eau. Lorsqu'une modification des données au fil du temps est probable, les paramètres de la fonction de répartition correspondante sont modélisés en fonction du temps. Par conséquent, les HQ_T établis par calcul changent également au fil du temps. |
| Fonction de répartition | Cette fonction décrit l'ensemble des débits de crue d'un bassin versant. Elle indique la probabilité qu'un débit de crue HQ soit atteint ou non au cours d'une année. |
| Distribution empirique | Cette distribution peut être déterminée à partir de l'échantillon choisi. |
| Distribution théorique de probabilités | Elle permet de passer de l'échantillon choisi à l'ensemble des éléments. Nombre de fonctions de distribution théorique remplissent les conditions pour s'appliquer en statistique des crues, mais aucune ne peut garantir les meilleurs résultats pour tous les échantillons. |

Paramètres de distribution

| | |
|--|--|
| κ Paramètre de forme (kappa) | Le paramètre de forme κ est en corrélation directe avec ce que l'on appelle la «Heaviness of Tail» de la distribution. Le Tail étant le domaine qui comprend les valeurs extrêmes supérieures. Lorsque κ est grand, le nombre de ces valeurs extrêmes est élevé. Lorsque κ est négatif, on admet au contraire que ces valeurs extrêmes restent en deçà d'une limite supérieure. |
| λ Taux d'occurrences (lambda) | Dans la méthode POT, ce paramètre correspond au nombre moyen de dépassements du seuil pendant l'intervalle d'une année. |
| μ Paramètre de position (mu) | Ce paramètre décrit la position moyenne des éléments d'un échantillon (ici, les débits observés) par rapport à l'échelle de mesure (en l'occurrence, m ³ /s ou l/s). |
